



## بررسی آزمایشگاهی تاثیرات نانوسيال اکسید آهن بر بازدهی حرارتی کالکتور صفحه تخت خورشیدی در ساختمان

جالل قندھاری<sup>۱\*</sup>، علی کیانی فر<sup>۲</sup>

۱- دانشجوی کارشناسی ارشد، مهندسی مکانیک، دانشگاه فردوسی، مشهد

۲- دانشیار، مهندسی مکانیک، دانشگاه فردوسی، مشهد

\* مشهد، صندوق پستی a-kiani@um.ac.ir .9177511111

### چکیده

امروزه با توجه به محدودیت‌های سوخت‌های سیسلی، استفاده از روش‌های بهینه مانند استفاده از نانوسيالات برای افزایش بازدهی آب‌گرم‌کن‌های خورشیدی بسیار مورد توجه قرار گرفته است. در این پژوهش، تاثیرات نانوسيال اکسید آهن با سیال پایه مخلوط ۵۰ درصد حجمی آب و پروپیلن گلیکول به عنوان سیال اعمال در کالکتورهای صفحه تخت خورشیدی به صورت آزمایشگاهی بررسی شده است. بدین منظور نانوسيال اکسید آهن در غلظت‌های مختلف نانوذره تا سه دهم درصد جرمی و در سه دهی مختلف مورد آزمایش قرار گرفته‌اند. آزمایشات تمامی در روزهای صاف و بدون ابر فصل تابستان و در پژوهشکده هوا خورشید دانشگاه فردوسی مشهد انجام شده است. نتایج به دست آمده نشان دهنده پتانسیل مناسب نانوسيال اکسید آهن (مگنتیت) در افزایش بازدهی حرارتی کالکتور صفحه تخت خورشیدی به عنوان اصلی‌ترین جزء خورشیدی می‌باشد. نتایج بدست آمده، افزایش ۱۲ درصدی بازدهی حرارتی کالکتور صفحه تخت خورشیدی را نشان می‌دهند.

**کلیدواژگان:** کالکتورهای صفحه تخت خورشیدی، نانوسيال اکسید آهن (مگنتیت)، بازدهی حرارتی

## Experimental Investigation on the Effect of Iron Oxide ( $Fe_3O_4$ ) Nanofluid on the Thermal Efficiency of Flat-Plate Solar Collectors in the Building

Jalal Ghandehari\*, Ali Kianifar

Department of Mechanical Engineering, Ferdowsi University of Mashhad, Mashhad, Iran  
\* P.O.B. 9177511111 Mashhad, Iran, a-kiani@um.ac.ir

### ABSTRACT

Nowadays, considering the limitations of fossil fuels, using optimization methods such as nanofluids for increasing the efficiency of solar water heaters has received a significant attention. In this study, the effects of nanofluid iron oxide with a mixture of 50% water volume and propylene glycol base fluid, as the working fluid in the solar flat plate collectors, were experimentally investigated. Nanofluid iron oxide nanoparticles at three different mass concentrations and in three volumetric flow rate have been experimented. All tests were done on cloudless, clear days in summer, and in Havakhurshid Research Institute at Ferdowsi University of Mashhad. Results indicate the proper potential of nanofluid iron oxide (magnetite) in enhancing the thermal efficiency of solar flat plate collector, as the most important component of solar water heaters, as the maximum efficiency increase of 12% was noticed.

**Keywords:** Flat- plate solar collector,  $Fe_3O_4$  nanofluids, Thermal efficiency

ضدجوش بودن پروپیلن گلیکول و جلوگیری از بخزدگی سیال در کالکتور، با افزودن آب از کاهش شدید انتقال حرارت (بدلیل انتقال حرارت پایین پروپیلن گلیکول) جلوگیری شود [۲].

در دهه‌ی گذشته، بسیاری از محققان به ارزیابی تاثیرات نانوسيالات بر بهبود انتقال حرارت در سیستم‌های گرمایی مختلف پرداخته‌اند [۳]. در میان کاربردهای مختلف نانوسيالات، استفاده آن‌ها در انرژی‌های تجدیدپذیر به خصوص در انرژی خورشیدی بسیار مورد توجه قرار گرفته است. نانوسيالات عموماً ظرفیت حرارتی پایین‌تری نسبت به سیالات متداول دارند، بنایاراین، استفاده از نانوسيالات در کالکتورهای خورشیدی به عنوان اصلی‌ترین جزء استفاده از خورشیدی، موجب بالا رفتن دمای خروجی از کالکتور می‌شود آب‌گرم‌کن‌های خورشیدی، موجب امری معنی دمای بالاتر خروجی سیال برای بسیاری از کاربردها به ویژه سیستم‌های گرمایشی ساختمان‌ها بسیار حائز اهمیت می‌باشد. در زیر به مرور چند تحقیق انجام گرفته بر تأثیر نانوسيالات بر بازدهی کالکتورهای

### ۱- مقدمه

کالکتورهای صفحه تخت خورشیدی به عنوان یکی از مهمترین اجزای آب‌گرم‌کن خورشیدی محسوب می‌گردد که با جذب انرژی تابشی خورشید آن را به صورت گرما به سیال جاری در کالکتور (معمولًا هوا، آب یا روغن) منتقل و به سیله‌ی یک مبدل حرارتی، موجب گرم شدن آب مصرفی می‌گردد [۱]. کالکتورهای صفحه تخت خورشیدی بدلیل سادگی طراحی، عملکرد مناسب و تعداد اجزای مکانیکی کمتر، پرکاربردترین و مشهورترین نوع کالکتورهای خورشیدی برای سیستم‌های آب‌گرم‌کن خورشیدی مورد استفاده در انواع ساختمان‌های مسکونی و اداری می‌باشند. به همین دلیل در این پژوهش از این نوع کالکتورها در سیستم آب‌گرم‌کن خورشیدی استفاده شده است. همچنین در این پژوهش از مخلوط آب و پروپیلن گلیکول به عنوان سیال پایه استفاده شده است تا ضمن استفاده از خواص ضدیخ و

<sup>1</sup> Propylene glycol

بر ارجاع به این مقاله از عبارت ذیل استفاده نمایید:

پایدار شده و استفاده شده در آزمایش آورده شده است.

### 3- روش انجام آزمایش

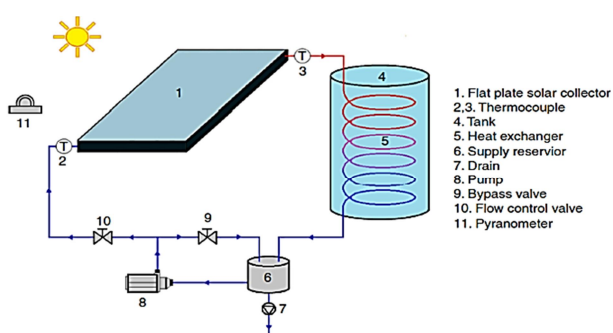
همان طور که در "شکل شماتیکی 2" نشان داده شده است، نانوسيال به وسیله یک پمپ سیرکوله داخل سیکل بسته‌ی آبگرم کن خورشیدی طراحی شده چرخش می‌کند، به طوری که نانوسيال پس گرم شدن و دریافت انرژی تابشی خورشید دمای خروجی اش از کالکتور بالا رفته و به وسیله لوله‌های مسی به داخل یک مبدل گرمایی منتقل می‌شود و انرژی دریافتی خود را در داخل یک مخزن به آب گرم مصرفی برای مصارف مختلف چون شستشو و ظرفشویی منتقل می‌کند و پس از از دست دادن انرژی خود و کاهش دما دوباره به سمت ورودی کالکتور پمپ می‌گردد. در این سیستم طراحی شده از یک ترموموپل مدل بی‌تی 100 برای اندازه‌گیری دمای محیط و تابش‌سنج کیپ‌اندزون برای اندازه‌گیری مقدار تابش در سطح افق استفاده شده که هر دو به یک دیتاگر لوفت متصل و اطلاعات را به صورت لحظه‌ای یادداشت و ذخیره می‌نمایند. همچنین از دو دماسنجه خودکاری برای اندازه‌گیری دمای ورود و خروج سیال از کالکتور استفاده شده است به طوری که سنسور دماسنجه‌ها کاملاً داخل جریان و مطابق با استاندارد اشري قرار گرفته است [8]. برای تنظیم نمودن دبی از سه درجه‌ی موجود در پمپ و باز یا بسته کردن شیر کنترل جریان بعد از پمپ استفاده گردیده تا دبی مورد نظر ایجاد گردد. قبل از آزمایش‌ها، تمامی وسایل به طور کامل و با دقت کالیبره شده‌اند. آزمایشات در فصل تابستان و در روزهای کاملاً آفتابی مطابق استاندارد اشره برای سه غلظت نانوسيال 0 و 0.1 و 0.3 درصد جرمی و سه دبی حجمی مختلف 1 و 1.5 و 2 لیتر بر دقیقه در شهر مشهد در پژوهشکده‌ی هوا خورشید دانشگاه فردوسی با طول جغرافیایی 59.35 و عرض جغرافیایی 36.17 انجام گرفته است. تمامی آزمایشات با رعایت کامل استاندارد اشري برای انجام آزمایش در کالکتورهای خورشیدی برای تامین آب گرم مصرفی در منازل انجام پذیرفته است.

### 4- محاسبات بازدهی حرارتی

مقادیر دمایی ورود، خروج، محیط و مقدار تابش در بازه‌های زمانی ۵ دقیقه‌ای و پس از رسیدن به شرایط پایدار اندازه‌گیری شده‌اند. بازدهی حرارتی کالکتور صفحه تخت خورشیدی در آبگرم کن‌های خورشیدی مطابق با رابطه (1) به دست می‌آید [3].

$$\eta = \frac{Q_u}{A_c G_t} = \frac{\dot{m} c_{p,nf}(T_o - T_i)}{A_c G_t} \quad (1)$$

به طوری که  $\dot{m}$  دبی سیال،  $c_{p,nf}$  ظرفیت حرارتی نانوسيال،  $T_i$  و  $T_o$  دمایهای ورود و خروج از کالکتور خورشیدی،  $A_c$  مساحت سطح جاذب کالکتور و  $G_t$



شکل 2 شکل شماتیکی سیستم آب گرم کن خورشیدی

مهندسي مكانيك مدرس، مهر 1395، دوره 16، شماره 13. مجموعه مقالات دومین کنفرانس بين المللی تهويه مطبوع و تاسيسات حرارتی و برودتی

صفحه تخت خورشیدی پرداخته شده است.

میبدی و همکاران [4]، به بررسی تاثیر اضافه نمودن نانوسيال سیلیکا در سیال پایه مخلوط 50 درصدی آب و اتیلن گلیکل بر بازدهی کالکتورهای صفحه تخت خورشیدی پرداخته‌اند. آن‌ها به این نتیجه رسیدند برخلاف رسانایی حرارتی پایین سیلیکا، این نوع نانوسيال تاثیر مناسبی بر افزایش راندمان حرارتی کالکتور صفحه تخت خورشیدی می‌گذارد و بازدهی حرارتی را بین 4 تا 8 درصد برای دبی‌های مختلف افزایش می‌دهد. در پژوهشی دیگر یوسفی و همکاران [5]، نانوسيال با نانولوله‌های چند دیواره‌ای کربنی به عنوان نانوذرات در سیال پایه‌ی آب را در بازدهی حرارتی کالکتور صفحه تخت خورشیدی مورد آزمایش قرار داده‌اند. نتایج ایشان نشان دهنده افزایش راندمان حرارتی کالکتور با افزایش درصد جرمی نانوذرات در نانوسيال می‌باشد. چاجی و همکاران [6]، با آزمایش بر کالکتورهای صفحه تخت خورشیدی دریافتند که نانوسيال تیتانیوم اکسید<sup>1</sup> و آب با درصد جرمی 0.3 درصد موجب افزایش بازدهی حرارتی آبگرم کن می‌گردد. زمزمان و همکاران [7]، نیز در پژوهشی دیگر به بررسی نانوسيال مس سنتز شده و آب با درصد جرمی‌های بین 0.2 و 0.3 پرداخته‌اند و نشان داده‌اند که با افزایش درصد جرمی نانوذرات در نانوسيال، بازدهی حرارتی کالکتورهای صفحه تخت خورشیدی افزایش می‌یابد. مور انجام گرفته بر پیشینه‌ی استفاده از نانوسيالات در سیستم‌های آبگرم کن‌های خورشیدی نشان می‌دهد تاکنون از نانوسيال اکسید آهن (مگنتیت)<sup>2</sup> در مخلوط آب و پروپیلن گلیکول به عنوان سیال عامل در این سیستم‌ها مورد استفاده و بررسی قرار نگرفته است که در این پژوهش از این نوع نانوسيال خاص برای بررسی مقدار افزایش بازدهی حرارتی کالکتور صفحه تخت، استفاده شده است.

### 2- طرز تهیه نانوسيال

در این پژوهش، برای تهیه نانوسيال از نانوذرات اکسید آهن (مگنتیت) با قطر متوسط 40 نانومتر در مخلوط 50 درصد حجمی آب و پروپیلن گلیکول استفاده شده است، به طوری که با توجه به درصد جرمی موردنیاز، نانوذرات آهسته در سیال پایه ریخته شده و به وسیله همزن به طور همزمان مخلوط گردیده‌اند. سپس، به محلول چند قطره اسید استیک اضافه کرده و محلول برای مدت سی دقیقه داخل حمام دستگاه اولتراسونیک قرار داده تا از کلوخه‌ای شدن نانوذرات جلوگیری شود و ته نشینی نانوذرات در نانوسيال به حداقل برسد، به این شیوه، با چشم غیرمسلح حداقل پس از یک ماه هیچ‌گونه ته نشینی مشاهده نگردید. لازم به ذکر است که اضافه کردن اولئیک اسید باعث کلوخه‌ای شدن نانوذرات شده است. نانوسيالات برای دو درصد جرمی متفاوت 1.0 و 3.0 درصد جرمی آماده شده‌اند. در "شکل 1" تصویر نانوفروسيال



شکل 1 تصویر نانوسيال استفاده شده در آزمایش

<sup>1</sup>TiO<sub>2</sub>  
<sup>2</sup>Magnetite

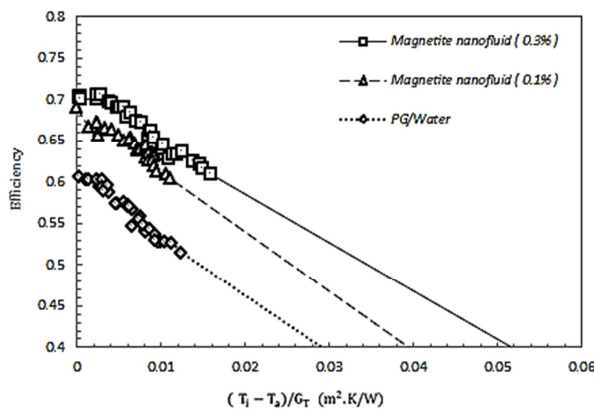


Fig.4 Efficiency in terms of the parameters of temperature decrease for 1.5 lit/min debyi

شکل 4 بازدهی بر حسب پارامتر کاهش دما برای دبی 1.5 لیتر بر دقیقه

حداقل می باشد. واضح است که پارامتر انرژی از دست رفته با دبی رابطه عکس دارد زیرا هنگامی که سیال با سرعت کمتری در کالکتور حرکت می کند، اتفاقات حرارتی در کالکتور افزایش می یابد و در نتیجه پارامتر انرژی از دست رفته نیز افزایش خواهد یافت.

## 6- نتیجه گیری

در این پژوهش تأثیرات نانو سیال اکسید آهن (مگنتیت) با سیال پایه مخلوط آب و پروپیلن گلیکول بر بازدهی حرارتی آب گرم کن های خورشیدی که

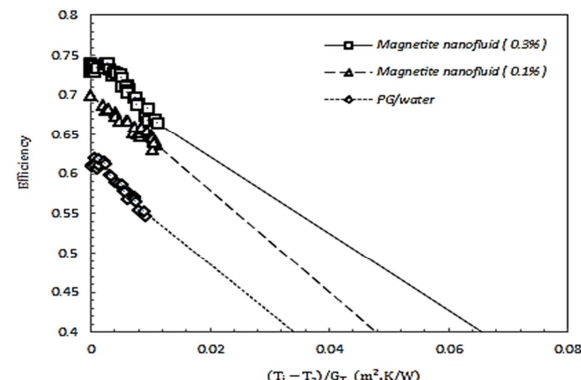


Fig.5 Efficiency in terms of the parameters of temperature decrease for 2 lit/min debyi

شکل 5 بازدهی بر حسب پارامتر کاهش دما برای دبی 2 لیتر بر دقیقه

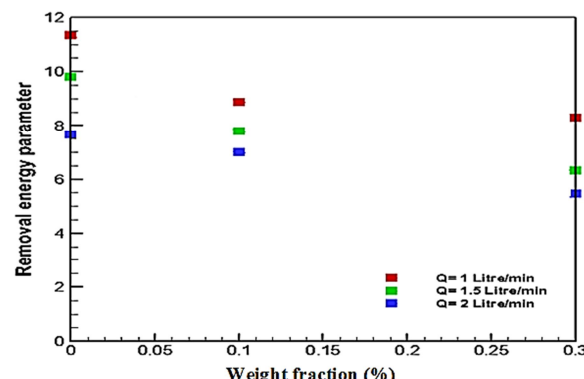


Fig.6 Removal energy parameters in terms of nanofluids different percent mass rates for different debys

شکل 6 پارامتر انرژی از دست رفته بر حسب درصد جرمی های مختلف نانو سیال برای دبی های مختلف

میزان تابش دریافتی لحظه ای در سطح کالکتور می باشد [9].

$$C_{p,nf} = \frac{\emptyset(\rho_{np}C_{p,np}) + (1 - \emptyset)(\rho_{bf}C_{p,bf})}{\emptyset\rho_{np} + (1 - \emptyset)\rho_{bf}} \quad (2)$$

در این رابطه،  $\emptyset$  درصد جرمی نانو سیال،  $C_{p,np}$  و  $C_{p,bf}$  به ترتیب ظرفیت حرارتی سیال پایه و نانوذرات و  $\rho_{np}$  و  $\rho_{bf}$  چگالی سیال پایه و چگالی نانوذرات می باشد. همچنین بازدهی کالکتور صفحه تخت خورشیدی را می توان به صورت اختلاف کل انرژی دریافتی کالکتور با انرژی هدر رفته از سطح کالکتور، تقسیم بر انرژی کل تابشی بر سطح کالکتور به صورت رابطه (3) نیز بازنویسی نمود [3]:

$$\eta = F_R(\tau\alpha) - U_L F_R \left( \frac{T_i - T_a}{G_t} \right) \quad (3)$$

در این رابطه نیز،  $F_R$  ضریب اخذ کالکتور،  $\alpha\tau$  بازدهی نوری<sup>1</sup> و  $U_L$  ضریب افت حرارت کالکتور می باشد. با رسم نمودار بازدهی بر حسب پارامتر کاهش دما  $(T_i - T_a)/G_t$  یک خط راست به دست می آید، که محل برخورد خط با نمودار عمودی پارامتر  $(T_i - T_a)/G_t$  یا پارامتر انرژی دریافتی<sup>2</sup> را نشان می دهد و شبی این خط نشان دهنده دیگر<sup>3</sup> یا پارامتر انرژی از دست رفته می باشد.

## 5- بحث و نتیجه گیری

"اشکال 3 الی 5" نشان دهنده بازدهی کالکتورهای صفحه تخت خورشیدی بر حسب پارامتر کاهش دما برای دبی ها و درصد جرمی های مختلف نانو سیال می باشند. همان طور که از نمودارها مشخص می گردد، در حالت کلی با افزایش نانوذرات مگنتیت، بازدهی حرارتی کالکتور افزایش می یابد. به عنوان مثال، در جایی که پارامتر کاهش دما به سمت صفر می گردد، نانو سیال مگنتیت با درصد جرمی سه دهم درصد دارای بازدهی 9 تا 12 درصد بیشتر از حالت سیال پایه (آب/پروپیلن گلیکول) است.

همان طور که از "اشکال 3 الی 5" مشخص می گردد، با افزایش دبی استفاده از نانو سیال با درصد جرمی بیشتر بازدهی بیشتری را نسبت به سیال پایه و استفاده از نانو سیال با درصد جرمی کمتر نشان می دهد.

در انتها در "شکل 6"، تأثیرات پارامتر انرژی از دست رفته ( $F_R U_L$ ) بر حسب درصد جرمی های مختلف نانو سیال برای دبی های مختلف نشان داده شده است، همان طور که از نمودار مشخص می گردد برای هر دبی، یک درصد جرمی بهینه وجود دارد بهطوری که پارامتر انرژی از دست رفته برای آن دبی

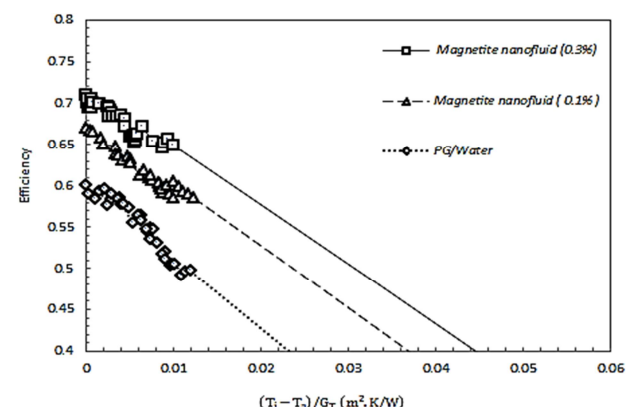


Fig.3 Efficiency in terms of the parameters of temperature decrease for 1 lit/min debyi

شکل 3 بازدهی بر حسب پارامتر کاهش دما برای دبی 1 لیتر بر دقیقه

<sup>1</sup> Optical efficiency

<sup>2</sup> Absorbed Energy Parameter

<sup>3</sup> Removed Energy Parameter

- [2] E. Shojaeizadeh, F. Veysi, T. Yousefi, F. Davodi, An experimental investigation on the efficiency of a Flat-plate solar collector with binary working fluid: A case study of propylene glycol (PG)-water, *Experimental Thermal and Fluid Science*, Vol. 53, pp. 218-226, 2014.
- [3] T. Yousefi, F. Veysi, E. Shojaeizadeh, S. Zinadini, An experimental investigation on the effect of Al<sub>2</sub>O<sub>3</sub>-H<sub>2</sub>O nanofluid on the efficiency of flat-plate solar collectors, *Renewable Energy*, Vol. 39, No. 1, pp. 293-298, 2012.
- [4] S. S. Meibodi, A. Kianifar, H. Niazmand, O. Mahian, S. Wongwises, Experimental investigation on the thermal efficiency and performance characteristics of a flat plate solar collector using SiO<sub>2</sub>/EG-water nanofluids, *International Communications in Heat and Mass Transfer*, Vol. 65, pp. 71-75, 2015.
- [5] T. Yousefi, F. Veisy, E. Shojaeizadeh, S. Zinadini, An experimental investigation on the effect of MWCNT-H<sub>2</sub>O nanofluid on the efficiency of flat-plate solar collectors, *Experimental Thermal and Fluid Science*, Vol. 39, pp. 207-212, 2012.
- [6] H. Chaji, Y. Ajabshirchi, E. Esmaeilzadeh, S. Z. Heris, M. Hedayatizadeh, M. Kahani, Experimental study on thermal efficiency of flat plate solar collector using TiO<sub>2</sub> sub 2/water nanofluid, *Modern Applied Science*, Vol. 7, No. 10, pp. 60, 2013.
- [7] A. Zamzamian, M. KeyanpourRad, M. KianiNeyestani, M. T. Jamal-Abad, An experimental study on the effect of Cu-synthesized/EG nanofluid on the efficiency of flat-plate solar collectors, *Renewable Energy*, Vol. 71, pp. 658-664, 2014.
- [8] L. Godson, B. Raja, D. M. Lal, S. Wongwises, Enhancement of heat transfer using nanofluids—an overview, *Renewable and sustainable energy reviews*, Vol. 14, No. 2, pp. 629-641, 2010.
- [9] O. Mahian, A. Kianifar, C. Kleinstreuer, A.-N. Moh'd A, I. Pop, A. Z. Sahin, S. Wongwises, A review of entropy generation in nanofluid flow, *International Journal of Heat and Mass Transfer*, Vol. 65, pp. 514-532, 2013.

موجب صرفه جویی در مصرف انرژی ساختمان می‌گردد، مورد بررسی آزمایشگاهی قرار گرفت. آزمایشات برای نانوسيال با درصد جرمی‌های 0 و 0.1 و 0.3، سه دبی جرمی مختلف 1 و 5.1 و 2 لیتر بر دقیقه انجام پذیرفت. نتایج به دست آمده نشان دهنده‌ی این موضوع اند که نانوذرات مگنتیت در سیال پایه مخلوط آب و پروپیلن گلیکول قابلیت افزایش بازدهی حرارتی آبگرم‌کن‌های خورشیدی و در نتیجه صرفه جویی در مصرف انرژی در ساختمان را به میزان متناسب دارا می‌باشند. نتایج نشان می‌دهند که در حالتی که پارامتر کاهش دما به سمت صفر میل می‌کند، با افزایش درصد جرمی نانوسيال از 0 به 0.3 بازدهی حرارتی به صورت تقریبی بین 9 تا 12 درصد افزایش می‌یابد. که این موضوع بدين معناست، که با استفاده از این نوع نانوسيال خاص در آب گرم‌کن‌های خورشیدی میزان بهره‌وری این سیستم‌ها در ساختمان را به میزان قابل قبولی افزایش می‌دهد. نتایج تحریبی نشان دهنده این موضوع است که با استفاده از نانوسيال در دبی‌های بالا، بازدهای افزایش بیشتری نشان می‌دهد. همچنین از نتایج مشخص می‌گردد که بازدهی حرارتی نانوسيال با درصد حجمی 0.1 و 0.3 درصد جرمی برای دبی‌های کم، تقریباً به یکدیگر نزدیک است، بنابراین توصیه می‌گردد برای کاهش هزینه و مشکلات پایداری نانوسيال از درصد جرمی‌های کمتر استفاده شود. همچنین داده‌های تحریبی نشان می‌دهند، پارامتر انرژی از دست رفته با افزایش دبی، کاهش می‌یابد.

## 7- منابع

- [1] S. A. Kalogirou, *Solar energy engineering: processes and systems*: Academic Press, 2013.